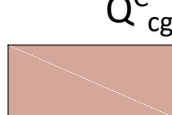
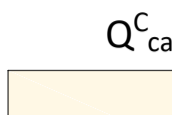
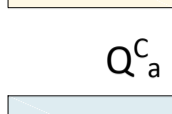








CARTA IDROGEOLOGICA

scala 1:5000

LEGENDA

-  Q_{cg}^c I CLASSE: Permeabilità molto buona ($k > 10$ cm/sec)
Depositi conglomeratici (primaria)
-  Q_{ca}^c II CLASSE: Permeabilità da buona a discreta ($10^{-1} < k < 10^{-4}$ cm/sec)
Depositi sabbiosi (primaria)
-  Q_a^c IV CLASSE: Permeabilità scarsa ($10^{-6} < k < 10^{-10}$ cm/sec)
Depositi argillosi (primaria)
-  Limite tra terreni a permeabilità differente
-  Corsi d'acqua principale
-  Cavidotto impianti
-  Spariacque tra bacini idrografici principali
-  Direzione linee di deflusso superficiale
-  Area impianto agrivoltaico n. 2



0 250 500 m

1:5 000

REGIONE BASILICATA

Comune di Pomarico (MT)



IMPIANTO AGRIVOLTAICO - POTENZA DI PICCO 52,50 MW - PER LA PRODUZIONE DI ENERGIA ELETTRICA ED ALLEVAMENTO DI OVINI NEL COMUNE DI POMARICO (MT) - CONTRADA SAN LORENZO

PROGETTO DEFINITIVO - CARTA IDROGEOLOGICA -

Tavola: **G06** Nome file: **CARTA IDROGEOLOGICA** Data: **LUGLIO 2023** Scala: **1:5000**

Geologia Struttura Impianti Antincendio

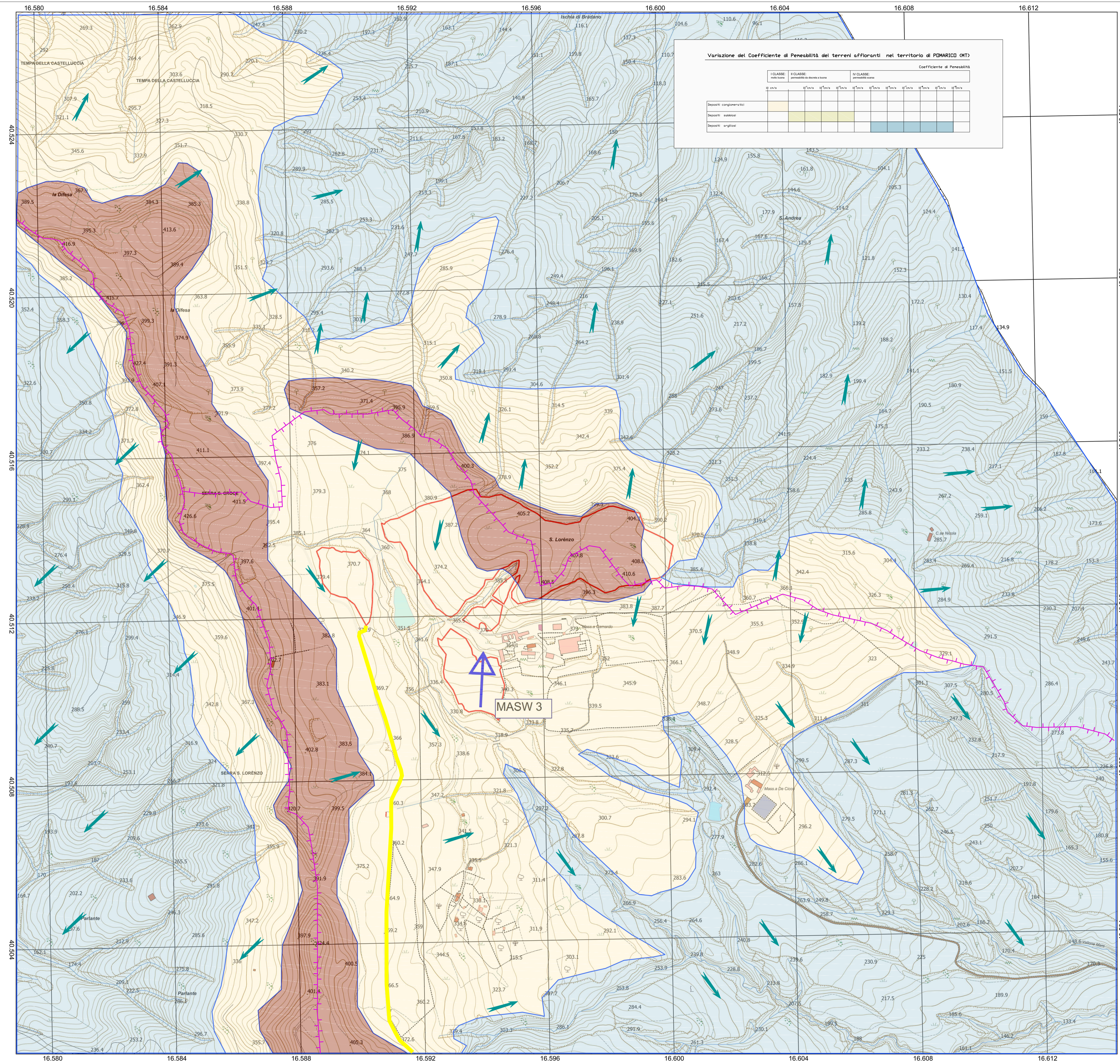
Committente:
FLYNIS PV 25 SRL

Via Cappuccio 12 - 20121 Milano - C.F./P.IVA 12432020969
PEC: flynispv25srl@legalmail.it

STUDIO TECNICO DI GEOLOGIA
Piazza P. Prosperino Gallipoli, 9
75024 - Montescaglioso (MT)
e-mail: antodibi71@gmail.com
tel/fax 0835404961 cell 3470957967/3287338268

Progettista:
TESA
ING. VINCENZO RAGAZZI
ING. ADELAIDE LAGUARDIA
ARCH. CATERINA RICCO
ARCH. BEATRICE GUIDA
Viale Salerno, 119 - 75025 Polignano a Mare (TA)
mail: tesaconsulting@gmail.com

Supervisore:
Project Manager/ Senior
arch. Nunzio Paolo SIMONE
Collaboratori:
arch. Filippo LAURO
Impianto fotovoltaico 2



Variazione del Coefficiente di Penetrabilità dei terreni affioranti nel territorio di POMARICO (MT)

CLASSE	I CLASSE		II CLASSE		IV CLASSE		Coefficiente di Penetrabilità	
	10 ⁻¹ < k < 10 ⁻⁴	10 ⁻¹ < k < 10 ⁻⁴	10 ⁻¹ < k < 10 ⁻⁴	10 ⁻¹ < k < 10 ⁻⁴	10 ⁻⁶ < k < 10 ⁻¹⁰	10 ⁻⁶ < k < 10 ⁻¹⁰	10 ⁻⁶ < k < 10 ⁻¹⁰	10 ⁻⁶ < k < 10 ⁻¹⁰
Depositi conglomeratici								
Depositi sabbiosi								
Depositi argillosi								

MASW 3